

埼玉大学 理工学部 正員
東京大学 工学部 正員
運輸省 正員

鳴 裕之
○玉井信行
小林正樹

1 塩水地の水位が急激に低下した場合の塩水楔の進行

塩水層中にあって平衡状態に達した塩水楔が、淡水水位の急激な低下により陸方向へ進行する場合、楔の先端の移動に就いて述べる。媒体は均質、等方性とし、楔の長さは充分長く準一様流の仮定が成立するものとする。淡塩両層の運動方程式はダルシーの法則であり

$$\left\{ \begin{array}{l} U_1 = -\frac{k}{M_1} \frac{\partial P_1}{\partial x}, \\ U_2 = -\frac{k}{M_2} \frac{\partial P_2}{\partial x}, \end{array} \right. \quad (1)$$

$$\left\{ \begin{array}{l} P_1 = P_1 g (z + \zeta), \\ P_2 = P_1 g (h_1 + \zeta) + P_2 g (z - h_1), \end{array} \right. \quad (2)$$

である。準一様流の仮定から

$$\left\{ \begin{array}{l} P_1 = P_1 g (z + \zeta), \\ P_2 = P_1 g (h_1 + \zeta) + P_2 g (z - h_1), \end{array} \right. \quad (3)$$

である。式(3), (4)を式(1), (2)に代入し、

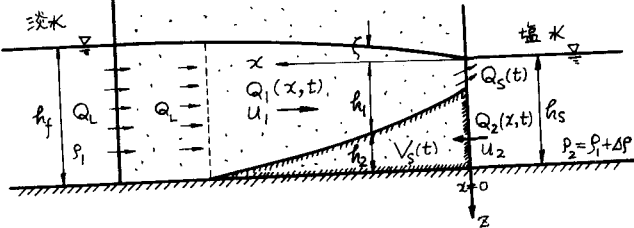


図-1 塩水層の模式図

上層に関する量を消去すると次式を得る。上層に関する諸量に添字1、下層のそれに2を付ける。

$$\frac{\partial h_2}{\partial x} = \frac{U_1 U_1 - U_2 U_2}{K(P_2 - P_1)} \quad (5)$$

塩水面より上部の淡水層の厚さ C_1 は、塩水層の厚さに比し $\Delta P/g$ のオーダーであるので、この部分からの淡水流量への寄与を無視する。

$$U_1 = Q_1(x, t)/h_1, \quad U_2 = Q_2(x, t)/h_2 \quad (6)$$

であり、流量 U_1 が x 方向の流れの向き正である。式(6)を式(5)に代入して次式を得る。尚ほの際、連続の条件 $Q_1 + Q_2 = Q_L(t)$ を考慮する。 $\varepsilon = \Delta P/g$ 、 K はダルシー浸透係数である。

$$\frac{\partial h_1}{\partial x} = \frac{Q_L}{K\varepsilon(h_2 - h_1)} - \frac{Q_1 h_2}{K\varepsilon h_1(h_2 - h_1)}. \quad (7)$$

ここで Q_1 の場所的な分布を仮定するが、楔の様相並 U に流量分布の近似法を図-2に示す。

初期に於ては、淡水流量

はすべての場所で一様に

Q_{L0} である。これを楔先

端、即ち $h_1 = h_2$ の点 $x = Q_{L0}$

に変化させると、その近

辺では速やかに変化する

であるが、海に近づく

では初期の Q_{L0} の影響を受

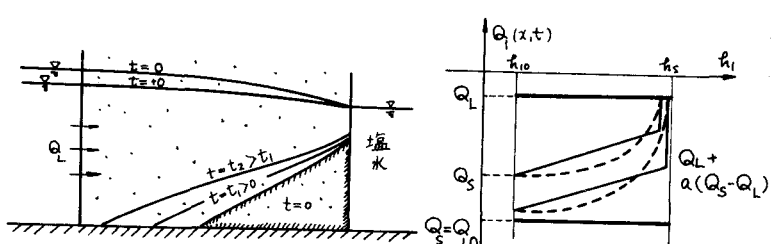


図-2 実験及び流量分布近似法の模式図

けて徐々にしか変化せず図中の点線の如き分布をするであろう。これを図中の折線で近似させよ。
この折線群を表わす方程式は次式であり、 $Q_S(t)$ は $x=0$ の淡水流量、 Q_L は樋先端での淡水流量、 h_{10} は $x=0$ での h_1 の値である。

$$Q_1 = (1-a)(Q_L - Q_S) \frac{h_1 - h_{10}}{h_S - h_{10}} + Q_S \quad (8)$$

式(8)を式(7)に代入して $\lambda = h_1/h_S$, $\alpha = h_{10}/h_S$ と置けば次式を得る。

$$\frac{h_S^2 \partial \lambda}{\partial x} = \frac{(a-d)(Q_L - Q_S)}{K \epsilon (1-a)(1-\lambda)} - \frac{Q_S}{K \epsilon \lambda} + \frac{\alpha(1-a)(Q_L - Q_S)}{K \epsilon (1-a)(1-\lambda) \lambda} \quad (10)$$

流量の分布形を定める係数 a は、 $Q_L=0$ の場合の実験結果を参照し、 λ の影響による変動は小さいとして $a=0.1$ と定める。実験に於ける見らるべの値は、ほど $\alpha < 0.1$ であるので以下の計算に於ける d 、 a の二次項は 1 に比し無視する。 $\bar{Q}_S = Q_S/Q_L$, $\bar{x} = Q_L x / K \epsilon h_S^2 (1-a)$ を無次元に変換し、 $\bar{x}=0$ と $\lambda=\alpha$ の条件の下に式(10)を積分する。

$$\bar{x} = -\frac{\lambda^2 - d^2}{2\{a-d+(1-a)\bar{Q}_S\}} + \frac{a(1-\bar{Q}_S)(\lambda-d)}{\{a-d+(1-a)\bar{Q}_S\}^2} - \frac{a(\bar{Q}_S-d)(\bar{Q}_S-1)}{\{a-d+(1-a)\bar{Q}_S\}^3} \ln \left| \frac{\lambda(a-d+(1-a)\bar{Q}_S) + d - \bar{Q}_S}{\alpha - (1-a)\bar{Q}_S} \right| \quad (11)$$

を得る。従って、塩水により占められた体積が求まり、上層と下層との体積の時間的変化より \bar{Q}_S と時間との関係を決定する数分方程式が求まる。初期条件は、淡水流量が Q_{L0} で射出時に達しているとき、淡水流量を Q_L に変化せることであるから、 $t=0$ で $\bar{Q}_S \equiv Q_S/Q_L = Q_{L0}/Q_L = Q_f$ であり、積分定数が定まり、 t と \bar{Q}_S の関係式が次式の如く定まる。無次元化工した時間は、 $t = Q_L^2 t / \partial K \epsilon h_S^3 (1-a)$ である。 $\delta = (a-d)/(1-a)$ と置くこととする。

$$\begin{aligned} t = & \frac{1}{6(1-a)^4(1+\delta)} \ln \left| \frac{1-Q_f}{Q_f+\delta} \frac{\bar{Q}_S+\delta}{1-\bar{Q}_S} \right| + \frac{a^2}{(1-a)^4} \left\{ \frac{1}{2} + \frac{d-3-2\delta}{3(1-a)(\bar{Q}_S+\delta)} + \frac{a+3d-3\delta}{4(1-a)(\bar{Q}_S+\delta)^2} \right\} \ln \left| \frac{(1-a)(\bar{Q}_S+\delta)}{a(\bar{Q}_S+\delta-1)} \right| \\ & - \frac{a^2}{(1-a)^4(Q_f+\delta)^2} \left\{ \frac{1}{2} + \frac{a-3-2\delta}{3(1-a)(Q_f+\delta)} + \frac{a+3d+3\delta}{4(1-a)(Q_f+\delta)^2} \right\} \ln \left| \frac{(1-a)(Q_f+\delta)}{a(Q_f+\delta-1)} \right| \\ & - \frac{a^2(1-2d)}{(1-a)^4(1-a)} \left\{ \frac{1}{2} + \frac{3a+13d+\delta-12}{12(1-a)} \right\} \ln \left| \frac{Q_f+\delta-1}{Q_f+\delta} \frac{\bar{Q}_S+\delta}{\bar{Q}_S+\delta-1} \right| \\ & - \left[\frac{1}{6(1+\delta)(1-a)^4} - \frac{a^2(1-2d)}{(1-a)^4(1-a)} \left\{ \frac{1}{2} + \frac{3a+13d+\delta-12}{12(1-a)} \right\} \right] \left(\frac{1}{\bar{Q}_S+\delta} - \frac{1}{Q_f+\delta} \right) \\ & - \left[\frac{a(1+\delta-d)}{2(1-a)^4(1+\delta)^2} - \frac{a^2(1-2d)}{2(1-a)^4(1-a)} \left\{ \frac{1}{2} + \frac{3a+13d+\delta-12}{12(1-a)} \right\} \right] \left\{ \frac{1}{(\bar{Q}_S+\delta)^2} - \frac{1}{(Q_f+\delta)^2} \right\} \\ & + \frac{a}{3(1-a)^4} \left\{ \frac{3a+d+\delta}{1+\delta} + \frac{a(d-3-2\delta)(1-2a)}{3(1-a)(1-a)} + \frac{a(a+3d+3\delta)(1-2a)}{4(1-a)(1-a)} \right\} \left\{ \frac{1}{(\bar{Q}_S+\delta)^3} - \frac{1}{(Q_f+\delta)^3} \right\} \\ & + \frac{a^2(a+3d+3\delta)(1-2d)}{4(1-a)^5(1-a)} \left\{ \frac{1}{(\bar{Q}_S+\delta)^4} - \frac{1}{(Q_f+\delta)^4} \right\}. \end{aligned} \quad (12)$$

塩水樋先端の動きは、先端で $h_1 = h_S$ であるから式(11)で $\lambda=1$ とし、 \bar{x} と \bar{Q}_S との関係を求め、 \bar{Q}_S を媒介変数として運動を知るこができる。

$$\bar{x} = -\frac{1}{2\{a-d+(1-a)\bar{Q}_S\}} + \frac{a(1-d)(1-\bar{Q}_S)}{\{a-d+(1-a)\bar{Q}_S\}^2} - \frac{a(\bar{Q}_S-d)(\bar{Q}_S-1)}{\{a-d+(1-a)\bar{Q}_S\}^3} \ln \left| \frac{a(\bar{Q}_S-1)}{(1-a)\bar{Q}_S-d} \right| \quad (13)$$

実験を行なった媒体は、 $d_{50} = 2.40 \text{ mm}$, $K = 1.91 \text{ cm/sec}$, $\theta = 0.40 \text{ 秒}$ である。結果を図-3 に示す。初期に於ける計算値との外れが著しいのは、計算値では全体を $x=0$ から出発し、最終的な状態に達するまでの連続的な変化としてしか考え得ず、更に境界条件として急激な変化を考えているが、実際の現象には過渡的な段階が存在する故である。時間軸を 1000 sec 移動したものは全域にわたり運動とほぼ一致するので、一度平衡状態に達した影響はこの時間の中に入れる。こうした初期の影響を除いてやると、係数に沿った運動をしたと言える。移動時間は 1000 sec 内外のものが多いが、樋の長さに

も関係がある。

2 流れの方向への分散定数の決定

二次元の問題への適用を図るために先ず、流れの方向への分散定数を定めるために一次元流れの実験を行なった。媒体の配列が完全に無秩序であるとすれば、与えられた場所と時間に存在する粒子の確率を $\psi(x, t)$ とすれば、原点よりかなり距たった点における $\psi(x, t)$ は正規分布となる。

一様な流れの場合に於て、 x_0 点に濃度 C_0 の溶液を投入したとき、媒体が無限に拡がっていれば、流れの方向に距離 s' だけ隔たった点 $(x_0 + s')$ の周りの点 x_1 の濃度は次式で求まる。

$$C(x_1) = \frac{C_0}{\sqrt{2\pi}\sigma_x} \exp\left[-\frac{(x_1 - (x_0 + s'))^2}{2\sigma_x^2}\right] dx_0 \quad (14)$$

一様な流れの速度が変化した場合にも分布形は変化せず、 x 点の濃度は

$$C(x) = \frac{C_0}{\sqrt{2\pi}\sigma_x} \exp\left[-\frac{(x - (x_0 + s))^2}{2\sigma_x^2}\right] dx_0 \quad (15)$$

であり、こゝに s は平均流の總進行距離 $S = \sum s'$ 、 σ は

$$\sigma_x = (2D_I S)^{1/2} \quad (16)$$

と定義される x 方向の標準偏差、 D_I は流れの方向の分散定数であり、媒体粒子径、粒度分布など媒体の性質のみによる量で次元は共に [L] である。

初期に $x < 0$ の部分が濃度 C_0 の溶液で満たされ、 $t=0$ より境界面が進行を始めた場合は式(15)を x_0 に関する $-\infty$ より 0 まで積分し周知の形を得る。

$$\frac{C}{C_0} = \frac{1}{2} \operatorname{erfc} \left\{ \frac{x - s}{(4D_I S)^{1/2}} \right\} \quad (17)$$

$$\operatorname{erf} \left\{ \frac{1 - \xi}{(4D_I S)^{1/2}} \right\} = \operatorname{erf} \phi = 1 - 2 \frac{C}{C_0} \quad (18)$$

こゝに、 $\xi = s/x$ 、 $\phi = (1 - \xi)/(4D_I S/x)^{1/2}$ である。

実験は図-4に示す装置で濃度変化を検出した。媒体はホウ部で用いたと同じ砂である。 $\Delta L = 88\text{cm}$ 、 $D = 20\text{cm}$ 、プローブは直徑 5mm で先端部はベーグライト製である。ベーグライト部に 0.5mm 中の白金線を 2mm 間隔で埋込み電極を構成してある。最初水を流しておきその後原溶液である $\rho = 1.010\text{ g/cm}^3$ の食塩水を通水す

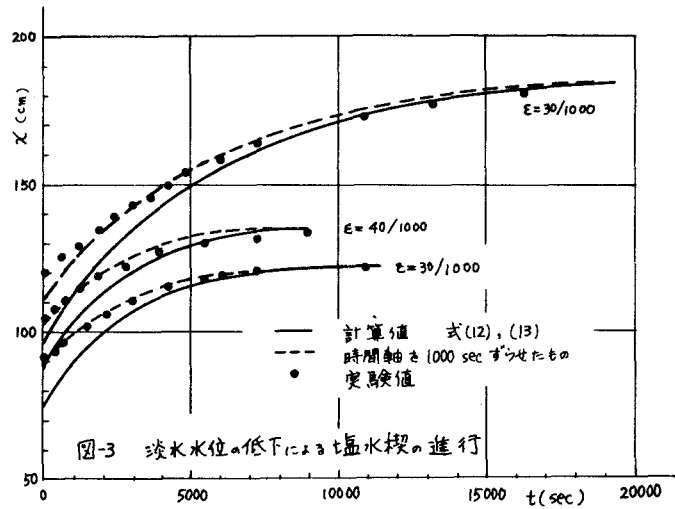


図-3 淡水水位の低下による塩水楔の進行

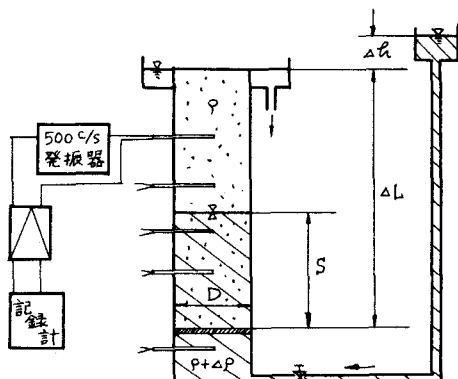


図-4 一次元分散実験装置

2. 徐々に食塩水が水を押し上げ原点に達したとき測定を開始する。原点から最初のプローブまでが22cm, 後は15cmおきにプローブが配置してある。

食塩水との置換の際混合が生じないように、バルブの部分にスポンジを挿入し、また乱れた部分は底部から細管で引抜くことができる。底部に設置したプローブで境界面の濃度を測定したが、完全には二層に分離していないのが良好な結果であった。

本実験の場合、重い流体が軽い流体を押し上げるので流量が時間的に変化する。この原因は、均一な流体であれば

$$Q' = KA \frac{\Delta h}{\Delta L}$$

であるのに対し、重い流体の境界がSだけ進行した状態では

$$Q = KA \frac{(1+\varepsilon) \Delta h + \varepsilon (AL - S)}{\Delta L} = (1+\varepsilon) Q' + KA\varepsilon \left(1 - \frac{S}{AL}\right) \quad (19)$$

と表わされ、流量は境界の進行と共に直線的に減ずる。実測に於ては直線性は良く保たれたが、勾配と絶対値は異なる。原因は判然としているが、資料の解析には実測値を用いた。実測された距離Sによる流量の変化を図-5に示す。これは時間と流量の観測結果より換算したものである。式(19)の結果からすれば、流量と時間とは対数的な関係とかく成るほど直線としてよいものが多く、その場合にも距離による流量変化はほど直線であった。

濃度測定結果から分散定数を決めるのは、式(18)に於ける中の値を数表より求めを行なうことがあります。このようにして求めた D_I の値はばらつきが非常に大きいので当然でしたが、拡散方程式に見られる拡散係数 D との関係は、 $D = D_I U_m$ ($\rightarrow U_m$ は測定点までの平均流速) であるので、平均流速を乗じた形で整理してみた。更に流速をレイルズ数の形に直したのが図-6である。こゝでは粒径に関するレイルズ数を探ってある。自然としないが $R_d = 0.7$ 付近で状態が異なるようと思われる。図中には R_d に比例する直線、 R_d^2 に比例する直線が示してある。 $R_d = 1$ 付近で乱れが発生し始めるという説に対応して直線の勾配が変化しているようでもあるが、詳細は現段階では不明である。因みに $D_I U_m \propto U_m$ の直線から求めた D_I は、 $D_I = 0.042$ cmである。

文部省科学研究費の援助を受け、東京大学吉川教授の助言を得た。記して謝意を表わします。

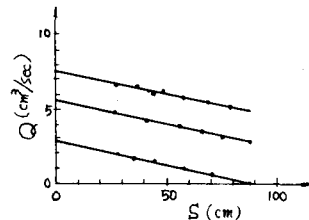


図-5 流量変化の実測結果

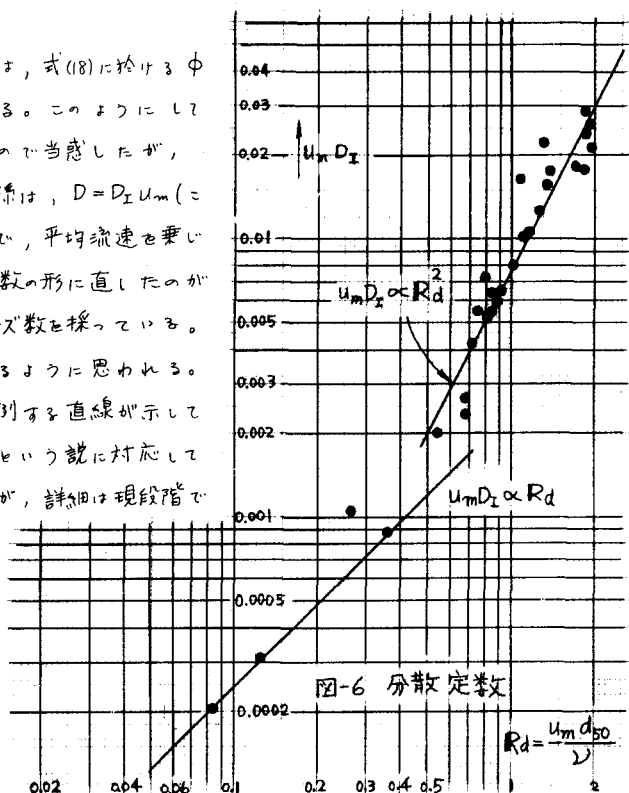


図-6 分散定数